

(株) 神戸製鋼所 正員 ○ 面村春久
 ◇ ◇ 広中邦礼
 ◇ ◇ 新家徹

1. まえがき

斜張橋やニールセン橋など、ケーブルがその主要構成要素となつて、この構造物が最近数多く建設されてゐる。これらのケーブル使用構造物の動的性状を検討するに際し、ケーブルの振動特性を十分把握しておく必要があると考えられる。本研究はこれらの構造物に一般に使用されるパテレルワイヤストラップ(PWS), ロックドコイルロープ(LCR), CFRCC型ストラニドロープ(CFRC)の3種類のロープを対象として、実験的にこれらの振動特性を把握しようと試みたものである。またこれらのケーブル使用構造物では、架設の際に張力を正確に計測する必要があるが、今回一般によくもちいられている振動法による張力測定方法について、本実験からその精度を確かめ、さらにより精度を高める方法について検討した結果について報告する。

2. 実験概要

(1) 供試体 第1表に示す種類のケーブル弦を選び、それぞれ長さや径式異なるものの13体を製作した。なおすべての供試ロープについて、更に先立ちソケットの抜け出し等の影響を除去するため、最大引張应力 60 kg/mm^2 で1時間放置し、プレテンションを行なった。

(2) 実験方法 第1図に示す実験装置をもつて、ロープを水平にセットし、1端はソケット前面をロードセルを介して定着し、他端はソケット前面を200 ton油圧ジャッキ2基により押し広げてロープに張力を導入した。導入張力としては、应力レベル $10, 20, 30, 40 \text{ kg/mm}^2$ の4段階とした。次に起振方法としては、ロープ中央をピアノ線で鉛直方向に所定の変位(約30 mm)まで引き込み、ピアノ線を切断する方法でロープを自由振動させた。一方計測方法としては、ロープ中央点、4等分点に加速度計、差動変位計を取り付け、ローパスフィルターを介し、電磁オシログラフに各点の振動波形を記録した。第2図にその一例を示す。

これから振動数を次式で求めた。

$$f = \frac{\pi v}{L} \quad (1)$$

ここで v ; 波の数 π ; 電磁オシログラフ紙送り速度

L ; n 個の波のピークの記録紙上の長さ

一方、減衰率は記録波形より振幅を読み取り、次式で求めた。

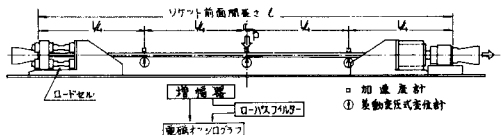
$$\delta = 1/n \ln(A_0/A_n) \quad A_0, A_n; \text{振幅} \quad (2)$$

3. 実験結果および考察

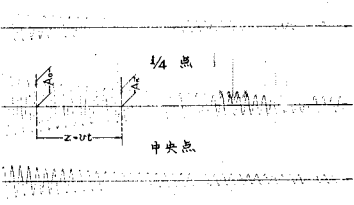
第2図に示すようにロープ中央点、1/4長、3/4長の波形がそれぞれ位相で、しかも明白な单弦振動であることがから、1次の振動波形であることがわかる。これから求めた振動数と引張应力の関係を第3図に示した。図中実線で示したのは弦理論から得られる引張应力と振動数の関係で(3)式表

第1表 供試体ロープ諸元

種類	構成	断面積 A(mm^2)	単位重量 W(kg/m)	ソケット間 距離 $s(\text{m})$
パラ レル ワ イ ス ト ラ ン ド	PWS 37	726.5	5.69	12.750
	PWS 61	1198	9.38	12.750
	PWS 91	1787	14.0	12.750 9.950 7.150
ロ ク ド コ イ ル ロ ー プ	LCR 30° (日形)	638	5.0	10.390 7.150
	LCR 46° (C形)	1531	12.0	12.750 9.950 7.150
ス タ リ ン ド ロ ー プ	CFRC 6WWS (3D) 60°	1926	15.1	12.750 9.950 7.150



第1図 実験装置概略図



第2図 記録波形(LCR 46°)

わされる。

$$\sigma_t = 4 \gamma f^2 l^2 / g$$

ただし γ : 単位体積重量 (7.84×10^{-6} kg/mm³) g : 重力加速度 (9.81 m/s²)

いずれのケースについても実測振動数は計算値よりも大きくなってしまい、特に太径のロープほど、また短いものほど顕著な差が現われていい。この原因としてロープの曲げ剛性による影響、端部の固定支持による影響等が考えられる。しかしこの曲げ剛性は一様ではなく、素線間の内部摩擦等が影響して、張力や長さ、断面形状等により変化すると考えられる。そこで中央載荷の静的曲げ試験により、鉛直力 P、張力 T、変位量を計測し、次式により EI_c を決定した。

$$y_0 = \frac{P}{4} \sinh \left(d + \frac{z - z_{\text{cosh}}}{\sinh d} \right), \quad d = \sqrt{\frac{T}{EI_c}} \cdot \frac{l}{2} \quad (4)$$

EI_c の値はしゃうじによりばらつきがあるため、平均値を換算曲げ剛性とし、第2表に示した。次に曲げ剛性の影響の程度を調べるために、第4図に無次元パラメータ $\sqrt{\frac{T}{EI_c}} \cdot \frac{l}{2}$ を横軸にとり、(3)式による計算張力と実験値の誤差を示した。図よりわかるように、 $\sqrt{\frac{T}{EI_c}} \cdot \frac{l}{2}$ がロープを表して近似し得るが、他の指標とみなすことができ、この値が100以下の場合には曲げ剛性を考慮した張力と振動数の関係式を適用する必要があると言える。

一方、両端固定より理論によると、張力と振動数の関係は次式で表わされる。

$$2d\beta(1 - \cos d\beta \cosh d\beta) + (\beta^2 - \alpha^2) \sinh d\beta \sinh d\beta = 0 \quad (5)$$

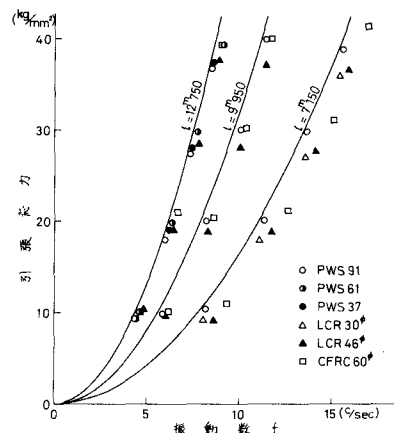
$$\text{ここで } d = \sqrt{b^2 + 4aw^2 - b} / 2a, \quad \beta = \sqrt{b^2 + 4aw^2 + b} / 2a, \quad a = \frac{EI_c}{W} \frac{g}{T}, \\ b = T^{\frac{1}{2}}/W, \quad w = 2\pi f, \quad W: \text{ロープ単位重量}$$

しかし(5)式は(4)式に關して非線形であり、張力と振動数の関係を求めるには複雑な計算を要する。そこでこれを簡略化して次式で表わされる近似式を説明した。

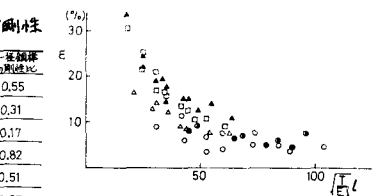
$$T = (4\pi f^2 l^2 / g) (1 - \frac{EI_c}{W} \frac{g}{T}) \quad (6)$$

第5図に(6)式から得られる張力と振動数の関係と実験値、および弦理論を適用した(4)式の関係を比較した一例 (LCR46°) を示した。図よりわかるように(6)式を適用して求めた張力と実験値の誤差は最大7%程度である。従ってロープの張力と振動数の関係を得るには、今回提案した(6)式を適用すれば通常用いられており(3)式よりも精度の高い近似式得られる。特に上記のパラメータ $\sqrt{\frac{T}{EI_c}} \cdot \frac{l}{2}$ が100以下であるような太径のもの、あるいは長さの短いロープに対しては(3)式ではなくなりの誤差を生じ、(6)式の適用が妥当と言える。

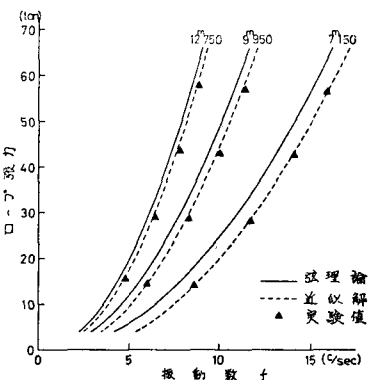
第6図は各種のロープについて、ロープ長をパラメータとして張力と対数減衰率の関係を示したものである。LCRとCFRCではそれほど差はないが、前者で 0.02 ~ 0.05、後者で 0.02 ~ 0.04 の範囲の値である。また、PWS などはこれらの約1/2と小さく、0.01 ~ 0.02 の範囲の値である。またビニルの種類のロープについても同様に張力の増大に伴い対数減衰率が漸減しており、ロープ長が長いほど小さな値を示す傾向にある。これらの点については今後さらに検討を加え、後日報告する予定である。



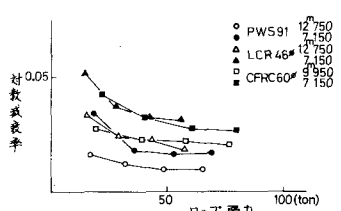
第3図 引張応力と振動数の関係



第4図 弦理論による計算張力誤差



第5図 近似解と実験値



第6図 対数減衰率